

山梨大学工学部 正員 平島健一

## 1. まえがき

等方性弾性体内に单一の孔を設けた場合の境界値問題の解法は多くの研究者により、各種の方法と用いてはれてゐる。しかしながら、複数個の孔と有する多連結領域問題の解析は特殊な形状の孔（例えは、内孔、構内孔等）以外の一般的な形状孔については、あまり行はれていないのが現状である。本報では等方性体内に複数個の任意形状孔と設けた場合に、充分遠方より作用する面内荷重  $\sigma_x, \tau_{xy}$  および面外荷重  $\tau_{yz}$  によつて生じる孔周囲の応力、変形分布を複素変数法と離点法を組み合せて求めた結果を報告する。

## 2. 解析方法について

無限体内的单一の任意形状孔の外部領域と平面上の単位円内に写像する関数とつきのようになつて仮定する。

$$\varphi_0 = w(z) = d_0 z + \sum_{n=1}^k (d_n + i\beta_n) z^{-n} \quad (1)$$

$= k, d_0, d_n, \beta_n$  は孔形状によって決まる定数である。

いま、前節で述べたような外荷重が作用する場合の物体内に生じる応力、変形はつきのようだ二つの複素応力関数によつて求められる。

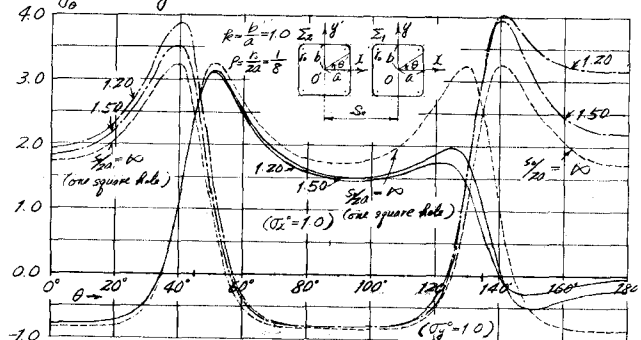
$$\begin{aligned} \varphi(z) &= \sum_{m=0}^{\infty} A_m z^m \\ \psi(z) &= -\bar{\varphi}(1/z) - \frac{\bar{w}(1/z)}{w(z)} [\varphi'(z)] \end{aligned} \quad (2)$$

上式中の係数  $A_m$  は外荷重状態および孔形状によって決定される複素定数である<sup>1)</sup>。

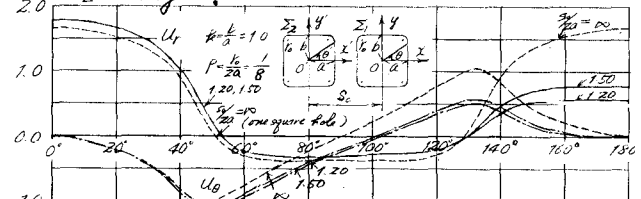
つきの応力関数から、孔壁から  $50^\circ$  までの近傍における応力、変形は周知の関係式によつて算定される。

つきに複数個の孔が存在する場合の解析操作は、離点法によつて、複数個の各々の孔壁との有限個の点において境界条件を満足させ、離散化計算によつて、上記の複素関

Fig. 1 (a)



(x Sigma\_x / E) Fig. 1 (b)



(x Sigma\_y / E) Fig. 1 (c)

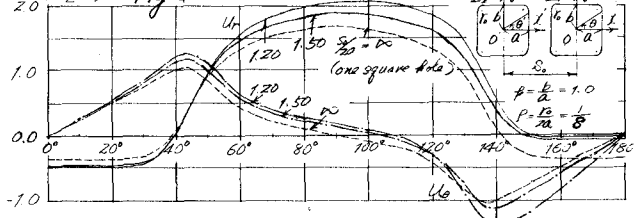
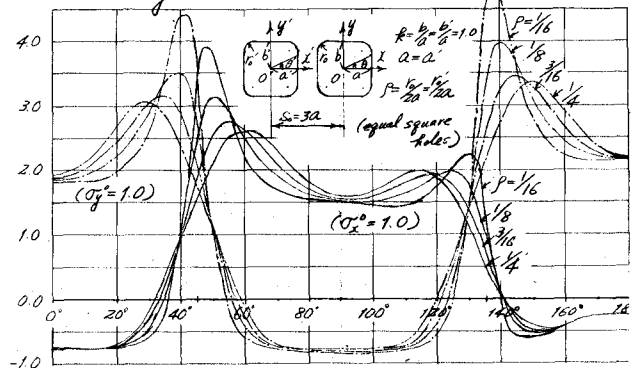


Fig. 2



数と同一形式の肉数を用いて、連続的に近似解を求める。<sup>2)</sup>

### 3. 数値計算例

上述の手法により等方性弾性体内に二個の正方形孔を設けた場合の、孔周縁の应力、変形分布を求めた結果を例示しよう。なお、解析に当つては孔形状を表やす式(1)の俢数  $\alpha_m, \beta_m$  は Heller 5 の結果 ( $\nu=0.3$ ) を用い、離点数は中心角  $4\theta=2.5^\circ$  すなはち  $-10^\circ$  孔縁上 144 点とし、 $\Sigma_1$  に式(2)の級数項数  $M=25$ 、離点回数  $J=4 \sim 8$  回とした。

Fig. 1 は二個の等しい正方形孔 ( $P=\frac{P_1}{2a}=\frac{P_2}{2a}$ ) と設けた場合に、外荷重  $T_x^o, T_y^o$  が作用したときの孔縁  $\Sigma_1$  の应力、変形分布と孔中心内周角  $2\theta$  のパラメータとして図示したものである。図中の点線で示したもののは一個の正方形孔のみが存在する場合の分布である。 $T_y^o$  が作用する場合、应力、変形ともに増大するが、 $T_x^o$  が作用する場合には  $X$  軸の負の附近でかねり減少している。

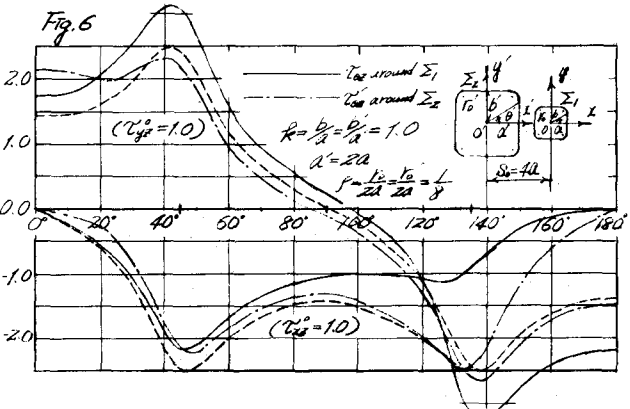
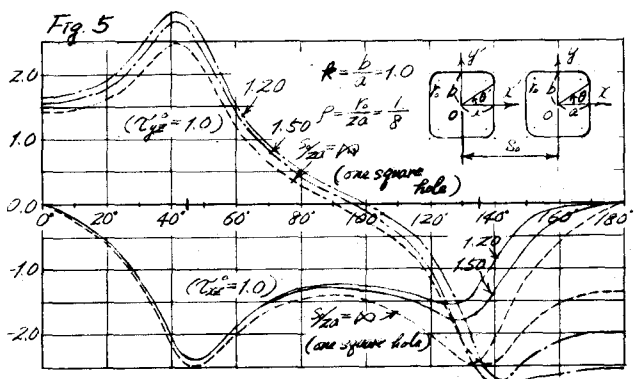
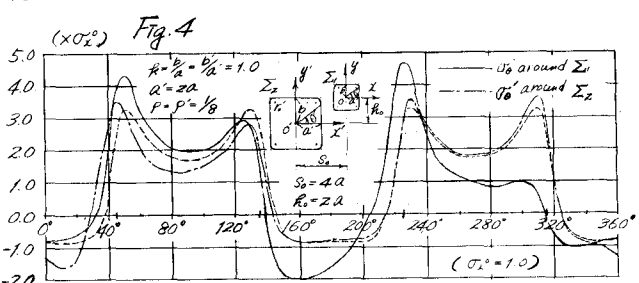
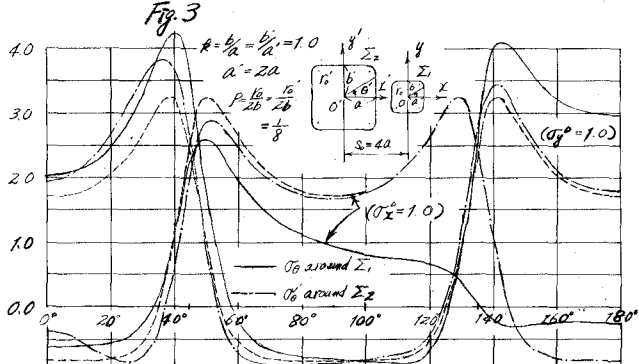
Fig. 2 は  $S_0=3a$  の孔内周角ごと  $T_x^o, T_y^o$  作用した場合に、正方形孔の孔周所部の丸み ( $P=\frac{P_1}{2a}$ ) をパラメータとして  $\Sigma_1$  上の应力  $T_\theta$  を図示したものである。

つぎに、Fig. 3, 4 は正方形孔の大きさ、および位置が異なる場合の両方の孔周縁での应力  $T_\theta$  の分布を図示したものである。図中の実線は右側の孔  $\Sigma_1$  の、一点鎖線は左側の孔  $\Sigma_2$  の接線应力  $T_{\theta 1}, T_{\theta 2}$  を示す。Fig. 4 は形状に特徴があるは“カジ”、 $360^\circ$  の全範囲にわたって図示してある。

Fig. 5, 6 は同じく二個の正方形孔を設けた場合に、面外荷重  $T_x^o, T_y^o$  の作用下の孔縁应力  $T_\theta$  の分布図である。

### 4. おまけ

三個の孔の場合の講演会当日に示す。



参考文献: 1) Hirashima, K., Mem. Fac. Engg., Kyoto Univ., Vol. 34 (1972)

pp. 27 ~ 52

2) 平島 丹羽, 土木学会論文報告集, 1963 (1971), pp. 9 ~ 18